

การพัฒนาระบบวิเคราะห์นำพาลกูร็อกส  
แบบกึงอัตรรมัติโดยใช้บันรอเชนเชอร์



นาย Naramech Naanugul

วิทยานิพนธ์นี้เป็นส่วนหนึ่งของการศึกษาตามหลักสูตรปริญญาวิศวกรรมศาสตรมหาบัณฑิต<sup>ภาควิชา</sup>วิศวกรรมไฟฟ้า

บัณฑิตวิทยาลัย จุฬาลงกรณ์มหาวิทยาลัย

พ.ศ. 2537

ISBN 974-584-356-3

ลิขสิทธิ์ของบัณฑิตวิทยาลัย จุฬาลงกรณ์มหาวิทยาลัย

工16844877

DEVELOPMENT OF SEMI-AUTOMATIC GLUCOSE  
ANALYZING SYSTEM USING A BIOSENSOR

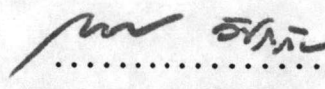
MR. NARAMETH NANANUKUL

A Thesis Submitted in Partial Fulfillment of the Requirements  
for the Degree of Master of Engineering  
Department of Electrical Engineering  
Graduate School  
Chulalongkorn University  
1994  
ISBN 974-584-356-3

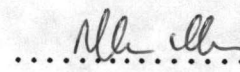
หัวข้อวิทยานิพนธ์ การพัฒนาระบบบันทึกตากล้องแบบกึ่งอัตโนมัติ โดยใช้ใบเรื่องเชื่อม  
 โดย นาย Naramech Nananugkul  
 ภาควิชา วิศวกรรมไฟฟ้า  
 อาจารย์ที่ปรึกษา ผู้ช่วยศาสตราจารย์ ดร. นานะ ศรียุทธศักดิ์

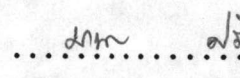


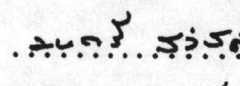
บัณฑิตวิทยาลัย จุฬาลงกรณ์มหาวิทยาลัย อนุมัติให้นับวิทยานิพนธ์ฉบับนี้เป็นส่วนหนึ่งของ  
 การศึกษาตามหลักสูตรปริญญามหาบัณฑิต

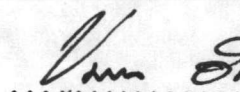
  
 ..... คณบดีบัณฑิตวิทยาลัย  
 (ศาสตราจารย์ ดร. ถาวร วัชรวาภัย)

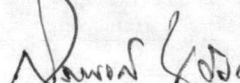
คณะกรรมการสอบวิทยานิพนธ์

  
 ..... ประธานกรรมการ  
 (ศาสตราจารย์ ดร. สมศักดิ์ มัจญากาล)

  
 ..... อาจารย์ที่ปรึกษา  
 (ผู้ช่วยศาสตราจารย์ ดร. นานะ ศรียุทธศักดิ์)

  
 ..... กรรมการ  
 (รองศาสตราจารย์ ดร. มนตรี สวัสดิ์ศดุจมา)

  
 ..... กรรมการ  
 (รองศาสตราจารย์ ดร. ชุมพล อันตรเสน)

  
 ..... กรรมการ  
 (ผู้ช่วยศาสตราจารย์ ดร. สุรพงษ์ น่วงคลังฤทธิ์)



สารเมธ นานานุกูล : การพัฒนาระบบวิเคราะห์น้ำตาลกลูโคสแบบกึ่งอัตโนมัติโดยใช้ไบโอดีเซนเซอร์ (DEVELOPMENT OF SEMI-AUTOMATIC GLUCOSE ANALYZING BY USING A BIOSENSOR) อ.ที่ปรึกษา : ผศ.ดร. มนัส ศรียุทธศักดิ์,  
151 หน้า. ISBN 974-584-356-3

ได้ทำการพัฒนาระบบวัดน้ำตาลกลูโคสขึ้น ซึ่งประกอบด้วยหัววัดน้ำตาลกลูโคส, ระบบไฟล์วินเจ็คชัน และส่วนเก็บวิเคราะห์สัญญาณโดยใช้คอมพิวเตอร์ หัววัดน้ำตาลกลูโคสเป็นแบบไบโอดีเซนเซอร์ที่มีส่วนประกอบคือ ทรานส์ดิวเซอร์ที่ทำเป็นฟิล์มบางของทองคำ และชั้นของเอนไซม์กลูโคสออกซิเดสที่ถูกตรึงอยู่บนผิวทรานส์ดิวเซอร์ ในงานวิจัยได้มีการศึกษาการตรึงเอนไซม์ 4 วิธี คือการตรึงเอนไซม์แบบการสร้างพันธะเคมีโดยใช้ไข่เลน และ พี-ไนโตรเบนზอยล์คลอไรด์, การตรึงเอนไซม์แบบการสร้างพันธะเคมีโดยใช้ไข่เลน และกลูต้าอัลดีไฮด์, การตรึงเอนไซม์โดยวิธีอิเล็กtroflo เมอร์ไรเซ่นของสารไนโตร และการตรึงเอนไซม์ในร่องร่างแห้งอีพ็อกซี่ จากการทดสอบพบว่า เชนเซอร์ที่มีการตรึงเอนไซม์ในร่องร่างแห้งของอีพ็อกซี่ มีความเหมาะสมในการนำไปประยุกต์ใช้งานมากที่สุด โดยมีค่าความเป็นเส้นตรงของการวัดน้ำตาลกลูโคสในช่วง 0 ถึง 1000 mg/dl เท่ากับ 0.996 และในการวัดมีผลกระทบจากน้ำตาลอมอลรัตส์, แลกโตส, ซูครส และจากรารีดิวชิงค์น้อยมาก สภาวะที่ใช้ในการตรึงเอนไซม์ที่ดีคือ เอนไซม์กลูโคสออกซิเดส 50 mg, เพอร์ไโตรีชีน 18.6 mg, อีพ็อกซี่ 50 mg, เอทิลแอลกอฮอล์ 0.5 ml และสารละลายฟอสเฟตบัฟเฟอร์ 0.01M 0.5 ml สัญญาณที่วัดได้จากระบบไฟล์วินเจ็คชันจะถูกนำมาแสดงผลบนจอonitor เตอร์แบบเวลาจริง และจะถูกเก็บเข้าสู่คอมพิวเตอร์เพื่อสามารถนำมายังเคราะห์ผลภายหลังได้ โดยในการวิเคราะห์สัญญาณจะมีการนำค่าอุดของสัญญาณมาใช้ในการคำนวณหาปริมาณน้ำตาลกลูโคส ระบบที่พัฒนาขึ้นมีความเร็วในการวัดน้ำตาลราว 1 ตัวอย่างต่อนาที โดยมีค่าสัมประสิทธิ์สหสัมพันธ์ของการวัดน้ำตาลกลูโคสในสารชีวภาพ และเลือดเท่ากับ 0.9197 และ 0.977 ตามลำดับ

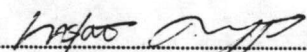
# #C415481 : MAJOR ELECTRICAL ENGINEERING  
KEY WORD: Flow-injection analysis, Biosensor, Glucose

NARAMETH NANANUKUL : DEVELOPMENT OF SEMI-AUTOMATIC GLUCOSE ANALYZING SYSTEM BY USING A BIOSENSOR.

THESIS ADVISOR : ASSISTANT PROFESSOR MANA SRIYUDTHSAK 151 pp.  
ISBN 974-584-356-3

The glucose analyzing system has been developed. It consists of glucose sensor, flow injection system and computerized analyzing system. The glucose biosensor is composed of transducer, which is made of thin film platinum, and a layer of enzyme, which is immobilized at the transducer's surface. In this research, four techniques of enzyme immobilization have been used. The techniques are enzyme immobilization by chemical bonding, using silane and p-nitrobenzoyl chloride, by chemical bonding, using silane and glutaraldehyde, by electropolymerization of pyrrole and enzyme immobilization by enzyme entrapment in epoxy structure. From the tests, the sensor with enzyme immobilization by enzyme entrapment in epoxy structure gives the best results for applications. The correlation coefficient of the sensor is 0.996 when used to measure glucose concentration range from 0 to 1000 mg/dl. The interference from maltose, lactose, sucrose and reducing agents is very low in the measurement. The best conditions for enzyme immobilization are glucose oxidase 50 mg, ferrocene 18.6 mg, epoxy 50 mg, ethylalcohol 0.5 ml and phosphate buffer solution 0.01M 0.5 ml. The signal from the system is real-time displayed on a monitor and then recorded to computer for further analyzations. In analyzing the signal, the peak values of signals are used to calculate glucose concentration of the samples. The developed system can be measured at a speed of 1 sample per minute. The correlation coefficients of the system are 0.9197 and 0.977 when it is used to measure glucose concentration in biological samples and human blood plasma, respectively.

ภาควิชา วิศวกรรมไฟฟ้า

ลายมือชื่อนักศึกษา 

สาขาวิชา วิศวกรรมไฟฟ้า

ลายมือชื่ออาจารย์ที่ปรึกษา 

ปีการศึกษา 2537

ลายมือชื่ออาจารย์ที่ปรึกษาร่วม



## กิตติกรรมประกาศ

วิทยานิพัฒน์บันนี้ได้ทำขึ้นที่ ห้องปฏิบัติการวิจัยสิ่งประดิษฐ์สารกึ่งตัวนำ (Semiconductor Device Research Laboratory : SDRL) ภาควิชาวิศวกรรมไฟฟ้า คณะวิศวกรรมศาสตร์ จุฬาลงกรณ์มหาวิทยาลัย ผู้วิจัยขอขอบพระคุณ ผศ.ดร.นานะ ศรียุทธศักดิ์ ซึ่งเป็นอาจารย์ที่ปรึกษาวิทยานิพัฒน์นี้ ที่เคยให้ความช่วยเหลือทั้งในด้านวิชาการ และด้านปฏิบัติการ ขอขอบพระคุณอาจารย์ประจำห้องปฏิบัติการวิจัยสิ่งประดิษฐ์สารกึ่งตัวนำ (SDRL) ซึ่งได้แก่ ศ.ดร.สมศักดิ์ บัญญาแก้ว รศ.ดร.มนตรี สวัสดิศถุ์มาร ผศ.ดร.ชุมพล อันตรเสน ผศ.ดร.ราชา ชลประภัย และ อ.ดร.สมชัย รัตนธรรมพันธ์ ที่ได้ให้คำแนะนำที่มีค่า และให้กำลังใจแก่ผู้วิจัยมาตลอด

นอกจากนี้ผู้วิจัยขอขอบคุณ คุณสุวัฒน์ สวิตพันธ์ คุณวิโรจน์ บุญรักษ์สุเมgar คุณศุภารชค ไทยน้อย คุณมณฑิชา รัชวิเศษ ที่ได้ให้ความช่วยเหลือด้านเทคนิคต่างๆ ขอขอบคุณ คุณชวัญเรือง ไทยน้อย ที่ให้ความช่วยเหลือด้านธุรการ

สุดท้ายนี้ผู้วิจัยขอกราบขอบพระคุณ บิดา-มารดา ที่เคยผลักดัน และให้กำลังใจตลอด

มา

สารบัญ



หน้า

บทคัดย่อภาษาไทย.....	๙
บทคัดย่อภาษาอังกฤษ.....	๑
กิตติกรรมประกาศ.....	๖
สารบัญตาราง.....	๗
สารบัญภาพ.....	๘

บทที่

1. บทนำ.....	1
2. ไบโอดีไซน์.....	5
บทนำ.....	5
2.1 ส่วนประกอบของไบโอดีไซน์.....	5
2.2 ประเภทของการตึงเย็นไขม์.....	6
2.3 การวัด และวิเคราะห์น้ำตาลกลูโคส.....	8
2.4 การวัดปริมาณน้ำตาลกลูโคสระดับใช้ไบโอดีไซน์.....	9
2.5 กลไกการเกิดปฏิกิริยาเคมีของไบโอดีไซน์.....	11
2.6 ส่วนประกอบของไบโอดีไซน์ที่ใช้ในงานวิจัย.....	14
3. ระบบโพลว์อินเจ็કชัน.....	23
บทนำ.....	23
3.1 ส่วนประกอบของระบบโพลว์อินเจ็คชัน.....	23
3.1.1 เชลล์ไอลฟ์ (flow through cell).....	23
3.1.2 เพอร์ซิสแตลติกปั๊ม (peristaltic pump).....	26
3.1.3 หัวฉีด (injector).....	27
สรุป.....	29
4. ส่วนเก็บ และวิเคราะห์สัญญาณ.....	30

## สารบัญ (ต่อ)

บทที่

หน้า

บทนำ.....	30
4.1 ลักษณะของกระแทกพ้าที่ได้จากการบูรพาลวินเจ็กชัน.....	31
4.2 ส่วนประกอบของขอพต์แวร์.....	32
4.2.1 ส่วนเก็บสัญญาณ.....	33
4.2.1.1 การแบ่งค่าจากสัญญาณณาลอกเป็นดิจิตอล	33
4.4.2 ส่วนวิเคราะห์สัญญาณ.....	40
สรุป.....	41
5. การตรวจเอนไซม์ลงบนทรานส์ดิวเซอร์.....	42
บทนำ.....	42
5.1 การตรวจเอนไซม์แบบผัง (entrainment) ในโครงร่างแหงอีพ็อกซี่	42
5.1.1 ผลของปริมาณเอนไซม์กลูโคสออกซิเดส.....	44
5.1.2 ผลของสารส่งผ่านอิเล็กตรอน.....	47
5.2 การตรวจเอนไซม์โดยวิธีอิเล็กตรโพรีเมอร์ไรเซ็น.....	51
5.3 การตรวจเอนไซม์แบบการสร้างพันธะเคมี โดยใช้ไซเลน (silane) และกลูตาอัลดีไฮด์.....	59
5.3.1 การศึกษาผลของการเข้มข้นไซเลน และระยะเวลาที่ใช้ ในการรีฟลักช์.....	61
5.3.2 การศึกษาผลของการระยะเวลาที่ใช้ในการแข็งสารละลาย กลูตาอัลดีไฮด์.....	64
5.3.3 การศึกษาผลของการระยะเวลาที่ใช้ในการตรวจเอนไซม์.....	64
5.4 การตรวจเอนไซม์แบบการสร้างพันธะเคมี โดยใช้ไซเลน (silane) และพีไนโตรベンซอยล์คลอไรด์ (p-nitrobenzoylchloride) ..	67
5.4.1 การศึกษาผลของการเข้มข้นของพีไนโตรベンซอยล์ คลอไรด์และสารละลายโซเดียมไนโตรไธโรมายที่ต้องปริมาณ เอนไซม์ที่ตรวจได้.....	
สรุป.....	75
6. การทดสอบคุณสมบัติของเอนเซอร์.....	77

## สารบัญ (ต่อ)

บทที่

หน้า

บทนำ.....	77
6.1 การทดสอบเชนเชอร์ที่ทำการตรึงเอนไนม์แบบผังในโครงร่างแท้ อิพ็อกซี่.....	78
6.2 การทดสอบเชนเชอร์ที่ทำการตรึงเอนไนม์แบบการสร้างพันธะเคมี โดยใช้ ไซเลน (silane) และพีโนร์เบนโซย์คลอไรด์ (p-nitrobenzoylchloride).....	82
6.3 การทดสอบเชนเชอร์ที่ทำการตรึงเอนไนม์แบบการสร้างพันธะเคมี โดยใช้ ไซเลน (silane) และกลูต้าอัลดีไซด์.....	85
6.4 การทดสอบเชนเชอร์ที่ทำการตรึงเอนไนม์ โดยวิธีอิเล็กโทรโพลี เมอร์ไรเซ่น.....	88
6.5 การศึกษาการกระจายของลักษณะสมบัติของเชนเชอร์.....	92
6.6 การศึกษาอายุการใช้งานของเชนเชอร์.....	94
6.7 การศึกษาผลของการความเร็วสารละลายพาร์ทิคูลาที่ต้องทดสอบของเชน เชอร์.....	97
สรุป.....	100
7. การประยุกต์ใช้เชนเชอร์ในการวัดสารชีวภาพ และเลือด.....	102
บทนำ.....	102
7.1 การประยุกต์ใช้เชนเชอร์ในการวัดสารชีวภาพ.....	102
7.2 การประยุกต์ใช้เชนเชอร์ในการวัดน้ำตาลกลูโคสในเลือด.....	105
สรุป.....	109
8. สรุปผลการวิจัย.....	110
เอกสารอ้างอิง.....	113
ภาคผนวก ก. โปรแกรมที่ใช้เก็บ และวิเคราะห์สัญญาณ.....	116
ภาคผนวก ข. การทำงานของระบบ E-Beam Evaporator.....	142
ภาคผนวก ค. การใช้ค่าพารามิเตอร์ของ CRTM Film Thickness Monitor... 148	
ประวัติผู้เขียน.....	151

## สารบัญสาร่าง

ตารางที่	หน้า
2.1 สภาวะที่ใช้ในการผลิตกรานส์ดิวเซอร์.....	17
4.1 ค่าต่างๆที่ใช้ในการกำหนดความถี่การแบล็งสัญญาณของวงจรแบล็งสัญญาณ.....	38
5.1 ปริมาณสารเคมีที่ใช้ในการรีฟลักซ์.....	72
6.1 ค่าความชัน และค่ากระแสฟื้นหลังของกราฟปรับเทียบของเขนเซอร์ที่ใช้ในการศึกษาคุณสมบัติการวัดช้า.....	93
6.2 ค่าความไวของเขนเซอร์ ที่มีระยะเวลาในการเก็บก่อนการใช้งาน 1 วัน, 1 เดือน และ 2 เดือน.....	95
6.3 ค่าความชัน และค่ากระแสฟื้นหลังของกราฟปรับเทียบของเขนเซอร์ที่ใช้ในการศึกษาคุณสมบัติการวัดช้า โดยการวัดผลตอบสนองติดต่อกัน 1 อาทิตย์.....	96
6.4 ผลของความเร็วสารละลายพานิช ต่อช่วงการวัด ค่าความไว ค่ากระแสฟื้นหลัง และค่าความเป็นเส้นตรงในการวัด.....	100
7.1 ค่าน้ำตาลกลูโคสที่วัดได้จากสารชีวภาพต่างๆ.....	103
7.2 ค่าความเข้มข้นน้ำตาลกลูโคส ที่วัดได้ในสารตัวอย่างเลือด ที่อยู่ในรูปคลาสma เมื่อใช้ความเข้มข้นของสารละลายพานิชเท่ากับ $0.01 \text{ M}$ .....	105
7.3 ค่าความเข้มข้นน้ำตาลกลูโคส ที่วัดได้ในสารตัวอย่างเลือด ที่อยู่ในรูปคลาสma เมื่อใช้ความเข้มข้นของสารละลายพานิชเท่ากับ $0.001 \text{ M}$ .....	107
ค.1 ค่า density และ acoustic impedance ของวัสดุชนิดต่างๆ.....	149

## สารบัญภาพ

รูปที่	หน้า
1.1 รูปเครื่องมือที่ใช้ในการวัดปริมาณน้ำตาลกลูโคส.....	3
1.2 ส่วนประกอบของระบบวัดน้ำตาลที่จะพัฒนาขึ้น.....	3
2.1 ส่วนประกอบของไบโอดีเซอร์.....	6
2.2 ลักษณะของการตั้งเรื่องใหม่แบบต่างๆ.....	7
2.3 ผลของความเข้มข้นของเอนไซม์ต่ออัตราเร็วของปฏิกิริยาเคมี.....	14
2.4 ขั้นตอนการผลิตทราบส์ดิวเซอร์แบบเก่า และแบบใหม่.....	15
2.5 ขั้นตอนการทำมาส์ก์โลหะ.....	15
2.6 รูปมาส์ก์โลหะที่ทำขึ้น.....	16
2.7 ทิพาเนียม และทองขาวที่ใช้ในการประดิษฐ์ทราบส์ดิวเซอร์.....	17
2.8 เครื่องระบายโลหะแบบลำอิเล็กตรอน.....	18
2.9 ลักษณะของทราบส์ดิวเซอร์ที่สมบูรณ์.....	18
2.10 บล็อกไซด์ออกซิแกรมของเครื่องวัดสัญญาณ.....	20
2.11 วงจรรวมของเครื่องวัดสัญญาณ.....	21
3.1 โครงสร้างของเซลล์ไฟล์ผ่าน.....	24
3.2 อิเล็กtroดที่ใช้ในงานวิจัย.....	24
3.3 เซลล์ไฟล์ผ่านที่ติดตั้งทราบส์ดิวเซอร์.....	25
3.4 เซลล์ไฟล์ผ่านที่พร้อมใช้งาน.....	25
3.5 เพอร์รีสแตลติกบีม.....	26
3.6 หลักการทำงานของวาร์ล์ 6 ทาง.....	27
3.7 หัวฉีดที่ใช้ในงานวิจัย.....	28
3.8 ระบบโพล์อินเจ็กชันที่พัฒนาขึ้น.....	28
4.1 ลักษณะสัญญาณจากระบบโพล์อินเจ็กชัน.....	30
4.2 วงจรแปลงสัญญาณณาลอกเป็นดิจิตอล.....	33
4.3 ขั้นตอนการแปลงสัญญาณโดยการควบคุมการทำงานจากโปรแกรม.....	34
4.4 การควบคุมการแปลงสัญญาณจากสัญญาณนาฬิกาภายนอก.....	35
4.5 การกำหนดค่าเริ่มต้นของวงจรแปลงสัญญาณ.....	36

## สารบัญภาพ (ต่อ)

รูปที่		หน้า
4.6	ขั้นตอนการทำงานของการอินเทอร์พ์.....	36
4.7	ส่วนกำเนิดสัญญาณมาพิกา 8254.....	37
5.1	ขั้นตอนการตรวจเอนไซม์แบบผังในโรคร่างแท้อีพอกซี.....	43
5.2	ความสัมพันธ์ระหว่างกระแสไฟฟ้า กับความเข้มข้นของเอนไซม์.....	45
5.3	ผลตอบสนองของเอนไซอิร์ที่ตรวจเอนไซม์ไว้มาก ( $60 \text{ mg/dl}$ ) และเอนไซอิร์ที่ทำการตรวจเอนไซม์ไว้น้อย ( $10 \text{ mg/dl}$ ).....	46
5.4	ความสัมพันธ์ระหว่างความเข้มข้นของเพอร์โซนกับกระแสไฟฟ้า.....	48
5.5	ผลตอบสนองของเอนไซอิร์ที่ทำการตรวจเพอร์โซน $25 \text{ mM}$ และ $100 \text{ mM}$ .....	49
5.6	ลักษณะผิวอิเล็กโทรดก่อน และหลังการตรวจเอนไซม์.....	51
5.7	โรคสร้างแบบเรโซแนนซ์ของสารโพลีไพรอล เมื่อถูกกระตุ้นด้วยไฟฟ้า.....	52
5.8	การเกิดพันธะกันระหว่างโนโนเมอร์ที่มีโรคสร้างแบบเรโซแนนซ์.....	52
5.9	อิเล็กโทรดที่ใช้ในการตรวจเอนไซม์.....	53
5.10	ขั้นตอนการตรวจเอนไซม์โดยวิธีโพลีเมอร์ไรเซ็น.....	54
5.11	อิเล็กโทรดที่ปรับปรุงรูปร่างใหม่.....	55
5.12	โรคสร้างของอุปกรณ์ที่ใช้ในการติดตั้งอิเล็กโทรด.....	56
5.13	อุปกรณ์ที่ใช้ในการติดตั้งอิเล็กโทรด.....	57
5.14	พิลมที่เกิดขึ้นเมื่อข้าวคราบทดมพื้นที่มากกว่าข้าวแองด.....	58
5.15	ผลของค่าแรงดันไบแอสต์อัตริมาณเอนไซม์ที่ตรวจได้.....	58
5.16	ขั้นตอนการตรวจเอนไซม์โดยใช้ไข่เลน และกลูต้าอัลดีไฮด์.....	60
5.17	ขั้นตอนการศึกษาผลของความเข้มข้นไข่เลน และระยะเวลาในการรีฟลักช์.....	62
5.18	ผลของความเข้มข้นของไข่เลน และระยะเวลาในการรีฟลักช์ ต่ออัตริมาณเอนไซม์ที่ตรวจได้.....	63
5.19	ขั้นตอนการศึกษาผลของระยะเวลาที่ใช้ในการแยกไข่ในสารละลายกลูต้าอัลดีไฮด์.....	64
5.20	ผลของระยะเวลาที่ใช้ในการทำงานภูมิริยา กับสารละลายกลูต้าอัลดีไฮด์.....	65
5.21	ขั้นตอนการศึกษาผลของระยะเวลาที่ใช้ในการแยกไข่ในสารละลายเอนไซม์.....	65
5.22	ผลของระยะเวลาที่ใช้ในการตรวจเอนไซม์.....	66

## สารบัญภาพ (ต่อ)

รูปที่		หน้า
5.23	ขั้นตอนการเตรียมแพ่นกระจากให้มีหมู่ไดอะไทร์ที่ผิว.....	69
5.24	ผลของความเข้มข้นของพี-ไนโตรเบนซอยล์คลอไรด์ และโซเดียมไดอะไทรอนที่	73
6.1	ผลตอบสนองของเหณเชอร์ที่ตึงเงอนไขม์แบบพัง ต่อน้ำตาลกลูโคสความเข้มข้น 100 ถึง 400 mg/dl.....	78
6.2	ผลตอบสนองของเหณเชอร์ที่ตึงเงอนไขม์แบบพัง ต่อน้ำตาลกลูโคสความเข้มข้น 400 ถึง 700 mg/dl.....	79
6.3	ผลตอบสนองของเหณเชอร์ ต่อน้ำตาลกลูโคสเข้มข้น 500 mg/dl 11 ครั้ง...	80
6.4	ผลตอบสนองของเหณเชอร์ต่อน้ำตาลโมล็อตส์, น้ำตาลแลกโรตส์ และน้ำตาลชูโคร์ส.....	81
6.5	ผลตอบสนองของเหณเชอร์ต่อกรดยูริก และกรดแอกโซบิก.....	81
6.6	ผลตอบสนองของเหณเชอร์ ที่ตึงเงอนไขม์แบบสร้างพันธะเคมี ต่อน้ำตาลกลูโคสความเข้มข้น 2000 ถึง 10000 mg/dl.....	83
6.7	ผลตอบสนองของเหณเชอร์ที่ตึงเงอนไขม์แบบสร้างพันธะเคมีต่อน้ำตาลกลูโคสเข้มข้น 2000 mg/dl.....	83
6.8	ผลตอบสนองของเหณเชอร์ต่อน้ำตาลโมล็อตส์ น้ำตาลแลกโรตส์ กรดแอกโซบิก และกรดยูริก.....	84
6.9	ผลตอบสนองของเหณเชอร์ที่ตึงเงอนไขม์โดยสร้างพันธะเคมี ต่อน้ำตาลกลูโคสความเข้มข้น 1000 ถึง 7500 mg/dl.....	85
6.10	ผลตอบสนองของเหณเชอร์ต่อน้ำตาลกลูโคสเข้มข้น 2000 mg/dl.....	86
6.11	ผลตอบสนองของเหณเชอร์ต่อน้ำตาลโมล็อตส์ น้ำตาลแลกโรตส์ กรดแอกโซบิก และกรดยูริก.....	87
6.12	ผลตอบสนองของเหณเชอร์ที่ตึงเงอนไขม์โดยวิธีอิเล็กตรโพรคิเมอร์ฯ เรซั่น ต่อน้ำตาลกลูโคสความเข้มข้น 3000 ถึง 10000 mg/dl.....	88
6.13	ผลตอบสนองของเหณเชอร์ต่อน้ำตาลกลูโคสเข้มข้น 6000 mg/dl.....	89

## สารบัญภาพ (ต่อ)

รูปที่	หน้า
6.14 ผลตอบสนองของเzenเซอร์ ต่อน้ำตามอลโรคส น้ำตาลแลกรอตส และกรดแอกซ คอบิก.....	90
6.15 คุณสมบัติในการทำข้าของเzenเซอร์ที่ตึงเงอนไขมแบบผัง.....	93
6.16 ผลตอบสนองของเzenเซอร์ที่ตึงเงอนไขมแบบผังที่ตึงเงอนไขมไว 1 วัน, 1 เดือน และ 2 เดือน ต่อน้ำตาลกลูโคสความเข้มข้น 500, 700 และ 900 mg/dl...	94
6.17 ผลตอบสนองของเzenเซอร์ที่ตึงเงอนไขมแบบผัง ที่วัดผลตอบสนองติดต่อกัน 1 อาทิตย์ ต่อน้ำตาลกลูโคสความเข้มข้น 500, 700 และ 900 mg/dl.....	95
6.18 การตอบสนองของเzenเซอร์ เมื่อความเร็วของสารละลายพานีเป็น 0.8 ml/min.....	97
6.19 การตอบสนองของเzenเซอร์ เมื่อความเร็วของสารละลายพานีเป็น 1.0 ml/min .....	98
6.20 การตอบสนองของเzenเซอร์ เมื่อความเร็วของสารละลายพานีเป็น 1.3 ml/min .....	98
6.21 กราฟปรับเทียบที่ได เมื่อความเร็วของสารละลายพานีค่าเป็น 0.8, 1.0 และ 1.3 ml/min ตามลำดับ.....	99
7.1 กราฟแสดงค่าน้ำตาลกลูโคสที่วัดได โดยใช้เzenเซอร์ที่ตึงเงอนไขมแบบผัง และ ค่าน้ำตาลกลูโคสที่วัดโดยวิธีวัดค่าการดูดกลืนของแสง เมื่อทำการวัดน้ำตาลกลูโคสในสารชีวภาพ.....	104
7.2 กราฟแสดงค่าน้ำตาลกลูโคสที่วัดได โดยใช้เzenเซอร์ที่ตึงเงอนไขมแบบผัง และ ค่าน้ำตาลกลูโคสที่วัดโดยวิธีวัดค่าการดูดกลืนของแสง เมื่อทำการวัดน้ำตาลกลูโคสในพลาasma โดยใช้สารละลายพานีที่มีความเข้มข้น 0.01 M.....	106
7.3 กราฟแสดงค่าน้ำตาลกลูโคสที่วัดได โดยใช้เzenเซอร์ที่ตึงเงอนไขมแบบผัง และ ค่าน้ำตาลกลูโคสที่วัดโดยวิธีวัดค่าการดูดกลืนของแสง เมื่อทำการวัดน้ำตาลกลูโคสในพลาasma โดยใช้สารละลายพานีที่มีความเข้มข้น 0.001 M.....	108
ช.1 แพงควบคุมระบบบีม.....	143
ช.2 ตัวແນ່ງของวาร์ที่ใช้ควบคุมการทำงานของบีม.....	144